

УДК 550.34(575.2)

Абдыраева Б.С., Муралиев А.М.,
Малдыбаева М.Б., Жолбулакова А.Т.
Институт сейсмологии НАН КР,
г.Бишкек, Кыргызстан

ЗЕМЛЕТРЯСЕНИЯ 20 СЕНТЯБРЯ 2013 ГОДА ($M_{pv}=5.2$) В ЮГО-ЗАПАДНОЙ ЧАСТИ ИССЫК-КУЛЬСКОЙ ВПАДИНЫ, КЫРГЫЗСТАН

Аннотация: В статье представлены результаты изучения механизма очага землетрясения 20 сентября 2013 года ($M_{pv}=5.2$), эпицентр которого расположен вблизи села Кара-Талаа, юго-западной части Исык-Кульской впадины. Приведены пункты, в пределах которых оно ощущалось.

Ключевые слова: очаг, механизм, Исык-Кульская впадина, направление осей главных напряжений, нодальная плоскость

КЫРГЫЗСТАНДЫН ЫСЫК-КӨЛ ОЙДУҢУНУН ТҮШТҮК-БАТЫШ БӨЛҮГҮНДӨ 2013-ЖЫЛДЫН 20-СЕНТЯБРЫНДА БОЛУП ӨТКӨН ЖЕР ТИТИРӨӨ ($M_{pv}=5.2$)

Кыскача мазмуну: Макалада 2013-жылдын 20-сентябрында эпиборбору Ысык-Көл ойдуңунун түштүк-батыш бөлүгүндөгү Кара-Талаа айылынан алыс эмес жерде орун алган жер титирөөнүн очогунун ($M_{pv}=5.2$) механизмдин изилдөөнүн жыйынтыктары көрсөтүлгөн. Бул жер титирөө сезилген чектердин пункттары берилген.

Негизги сөздөр: очок, механизм, Ысык-Көл ойдуңу, башкы чыңалуулар окторунун багыты, нодалдык мейкиндик

EARTHQUAKE OF SEPTEMBER, 20, 2013 ($M_{pv} = 5.2$), SOUTHWESTERN OF THE ISSYK-KUL DEPRESSION, KYRGYZSTAN

Abstract: The results of study of focal mechanism for the earthquake of September, 20, 2013 ($M_{pv}=5.2$), occurred near the Kara-Talaa village, Southwestern part of Issyk-Kul depression are presented at the paper. The places of its feeling are indicated.

Keywords: source, mechanism, Issyk-Kul depression, direction of axes of principal stresses, nodal plane.

20 сентября 2013 г. в 16 часов 28 мин. по местному времени в Кыргызстане произошло ощутимое землетрясение ($K_p=11.6$, $I_0=4-5$ баллов), эпицентр которого располагался в 6 км к юго-востоку от села Кара-Талаа, 7 км к северо-западу от села Улахол, 11 км к северу-западу от села Бар-Булак, 15 км к юго-востоку от села Оттук и 17 км к северо-западу от села Кара-Тоо ($\varphi = 42^{\circ}17' N$, $\lambda = 76^{\circ}28' E$).

В таблице 1 представлены параметры исследуемого землетрясения.

Таблица 1.

Основные параметры землетрясения 20.09.13 г. с магнитудой $M_{pv}=5.2$ (данные ЦД ИС НАН КР)

Сейсмические службы	t_0 , час, мин., сек.	φ , широта	λ , долгота	h , км	M_{pv} , магнитуда	K , класс
ИС НАН КР	16:28:26,6	$42^{\circ}17'$	$76^{\circ}28'$	21	5.2	11.6

На рисунках 1 и 2 в качестве примера показаны цифровые записи станций «Пржевальск» и «Каджи-Сай» землетрясения 20.09.13 г.

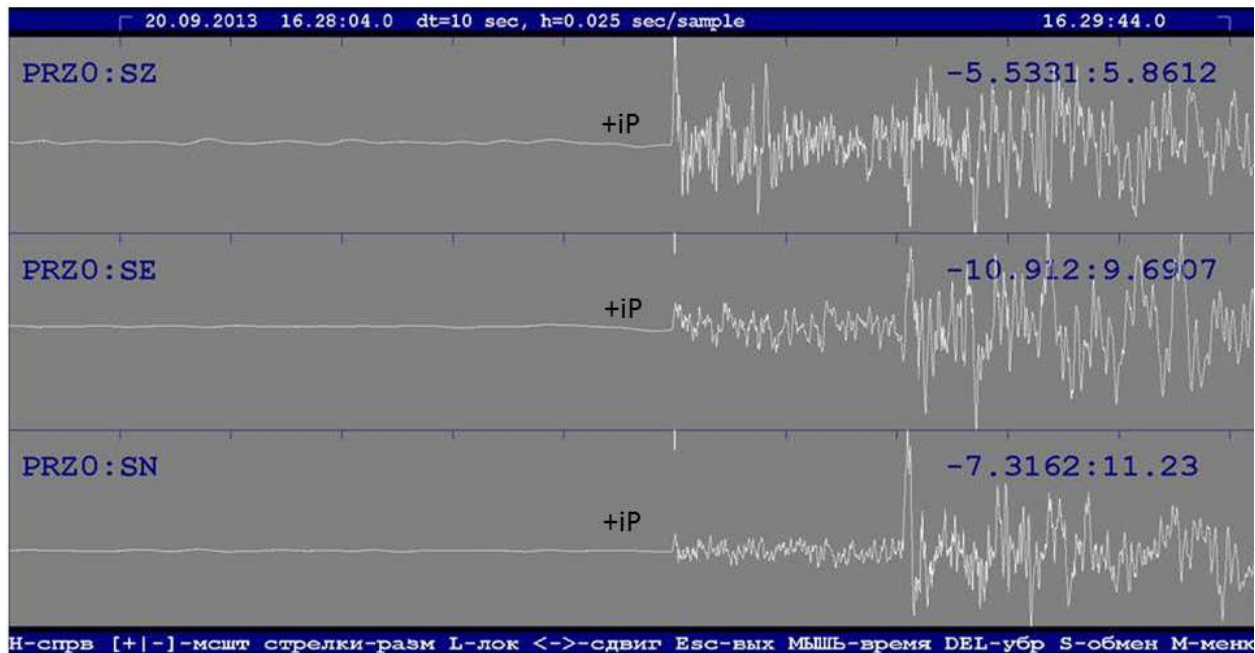


Рисунок 1. Сейсмическая запись землетрясения 20.09.13 г. с энергетическим классом $K_p=11.6$, с магнитудой $M_{rv}=5.2$, полученная на станции PRZ (Пржевальск).

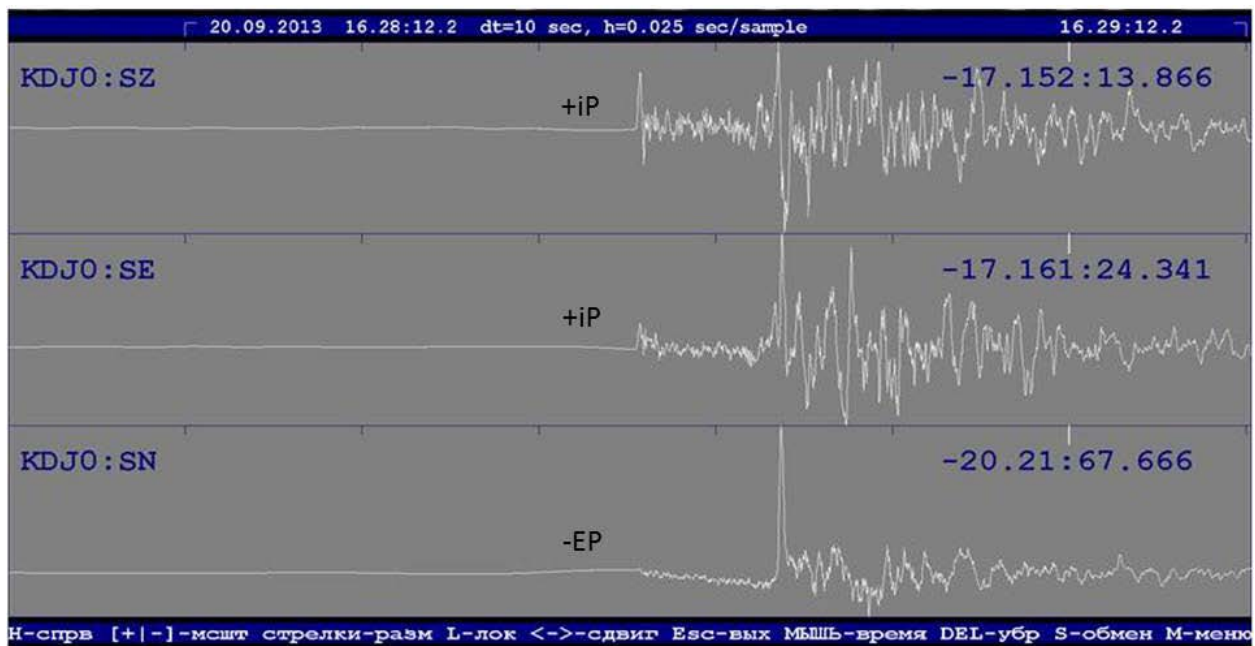


Рисунок 2. Сейсмическая запись землетрясения 20.09.13 г. с энергетическим классом $K_p=11.6$, с магнитудой $M_{rv}=5.2$ по станции KDJ (Каджи-Сай).

Макросейсмические данные

Макросейсмические данные о землетрясении 20 сентября 2013 г. были получены, главным образом, опросными листами. Кроме этого, они были представлены сотрудниками сейсмических станций региональной сети (таблица 2). Максимальная наблюдаемая

интенсивность сотрясений - 5 баллов, зарегистрирована в селах Кара-Талаа, Шор-Булак, Улахол и Барбулак (юго-западной части Иссык-Кульской впадины).

Таблица 2.

Макросейсмические данные о землетрясении 20.09.13г. с энергетическим классом $K_p=11.6$, магнитудой $M_{pv}=5.2$ (ЦД ИС НАН КР)

№	Пункт	$\Delta, км$	φ^0, N	λ^0, E	Балл
1	Шор-Булак	5	42°15'	76°34'	5
2	Кара-Талаа	6	42°19'	76°25'	5
3	Улахол	7	42°15'	76°33'	5
4	Барбулак	11	42°14'	76°35'	5
5	Отгук	15	42°19'	76°18'	4,5
6	Кара-Тоо	17	42°13'	76°38'	4,5
7	Ала-Баш	20	42°07'	76°29'	4
8	Туура-Суу1	21	42°07'	76°20'	4
9	Кызыл-Туу	21	42°11'	76°40'	4
10	Балыкчы	30	42°27'	76°12'	4
101	Орто-Токой	38	42°20'	76°00'	3,5
12	Боконбаево	48	42°07'	77°00'	3,5
13	Каджы-Сай	62	42°09'	77°12'	3
14	Туура-Суу2	45	41°56'	76°12'	3
15	Кочкор	60	42°13'	75°45'	3

Макросейсмические наблюдения включали в себя:

- данные об осязательности на сейсмических станциях и ближайших к ним населённых пунктах (получены Центром Данным ИС НАН КР);
- дополнительный сбор данных для уточнения положения макросейсмического эпицентра произведён по данным информационных сообщений по землетрясению;
- оценка балльности сейсмической сотрясаемости при данном землетрясении была выполнена в соответствии с инструкцией [2] и учётом наиболее типичных признаков по шкале MSK – 64 [3] (таблица 2).

На основе данных таблицы 2 была построена карта балльности землетрясения 20 сентября 2013 г. с энергетическим классом $K_p=11.6$ (рисунок 3). Зоны балльности вытянуты в северо-западном направлении и совпадают с простиранием западной части Предтерсейского глубинного разлома (см. «Карта новейших краевых разломов и

линеаментов Киргизской ССР». Авт. О.К. Чедия, А.К. Трофимов, К.Е. Абдрахматов и др., 1988 г.).

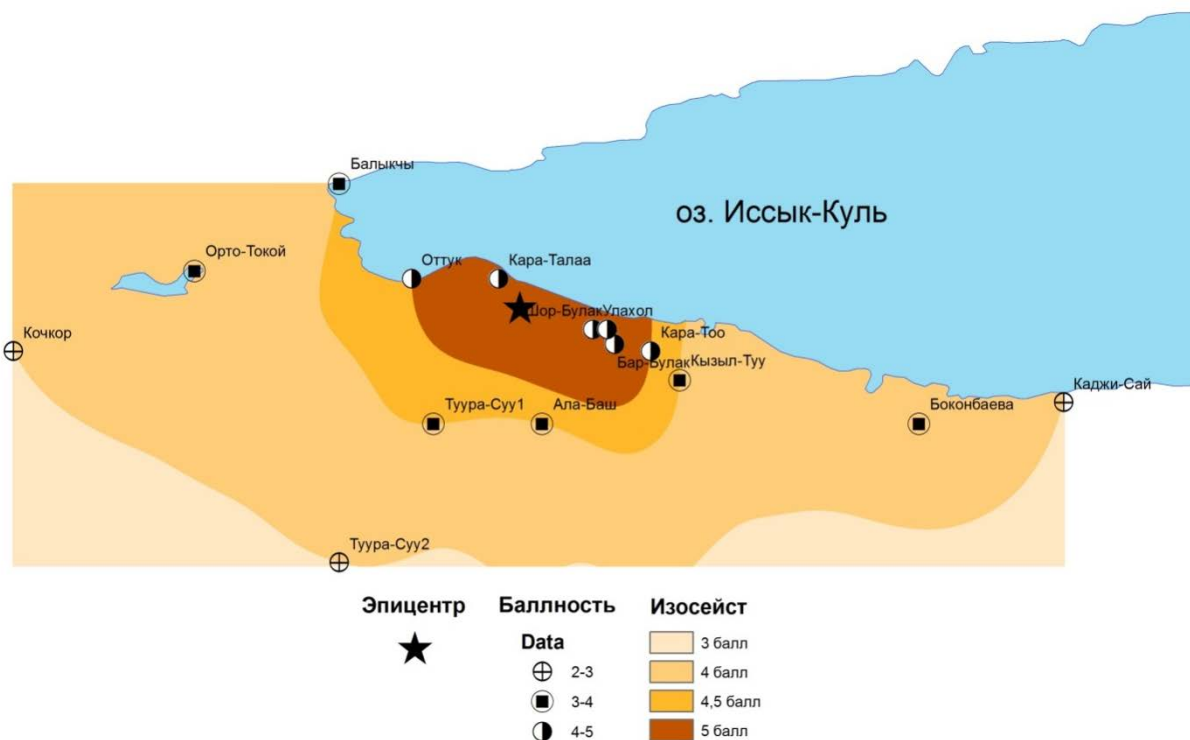


Рисунок 3. Карта балльности землетрясения 20.09.13 г. с энергетическим классом $K_p=11.6$, магнитудой $M_{rv}=5.2$ (авторы: Абдыраева Б., Шаршенбаева З., Дженалиев А.).

Механизм очага. Для построения механизма очага землетрясения 20.09.13 г. по знакам первых вступлений Р-волн была собрана информация с 25 сейсмических станций, расположенных на территории Кыргызстана. Из них на 20 станциях зарегистрированы волны сжатия «+», на 5- волны разряжения «-». Решение механизма очага данного землетрясения проведено по методике [1]. В таблице 3. показаны параметры механизма очага этого землетрясения. Графическое изображение в стереографической проекции (нижняя полусфера) показано на рисунке 4. Ось напряжения сжатия располагается под углом $PL=20^0$. Она ориентирована в юго-восточном направлении ($AZM=155^0$). Нодальная плоскость NP1 имеет крутое падение - $DP=71^0$ в северо-западном направлении ($STK=293^0$). По плоскости NP2 угол $DP=80^0$ и направление юго-западное ($STK=200^0$). Тип деформации - «сдвиг».

Таблица 3.

Параметры механизма очага землетрясения 20.09.13 г. с энергетическим классом $K_p=11.6$ с магнитудой $M_{rv}=5.2$ в международном формате

Оси главных напряжений						Нодальные плоскости						Агентство
T		N		P		NP1			NP2			
PL	AZM	PL	AZM	PL	AZM	STK	DP	SLIP	STK	DP	SLIP	
6	248	70	348	20	155	293	71	-169	200	80	-19	ИС НАН КР

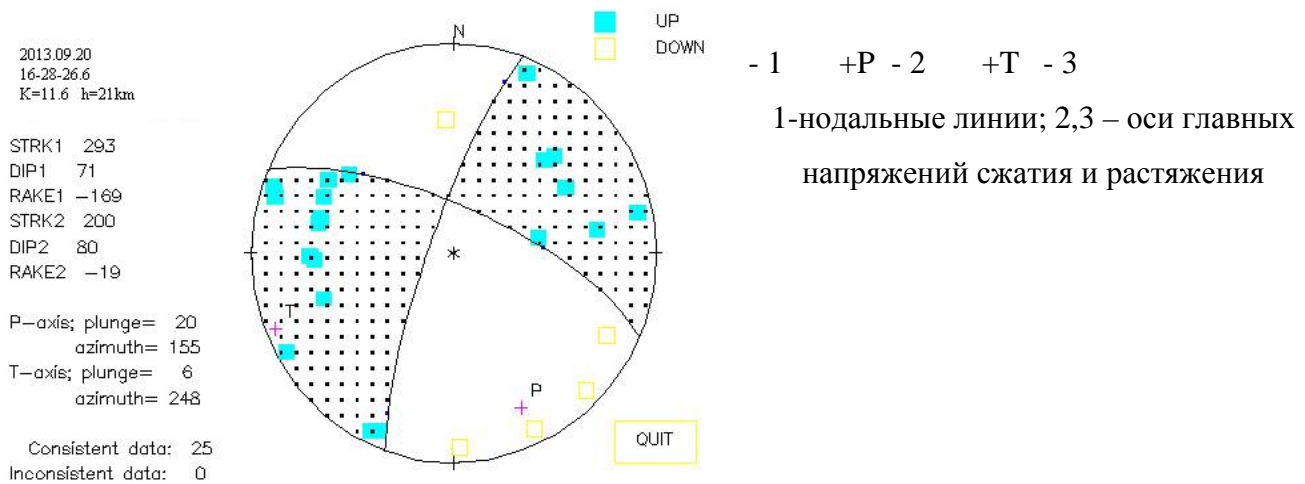


Рисунок 4. Стереграмма механизма очага землетрясения 20.09.13 г. с энергетическим классом $K_p=11.6$ в проекции нижней полусферы.

Заключение

По данным инструментальных наблюдений землетрясение 20 сентября 2013 года с энергетическим классом $K_p=11.6$ произошло в результате близмеридионального и близгоризонтального сжатий а также растяжения, которые действовали в очаге этого землетрясения. По первой нодальной плоскости произошёл правосторонний сдвиг, а по второй нодальной плоскости – левосторонний сдвиг. Вектор напряжения сжатия ориентирован с юга на север. Направление большой оси плейстосейстовой области совпадает с простираением первой нодальной плоскости в очаге.

Статья написана при поддержке гранта по проекту МНТЦ # KR-2011.

Литература

1. Балакина Л.А., Введенская А.В., Голубева Н.В., Мишарина А.А. Широкова Е.И. Поле упругих напряжений Земли и механизм очагов землетрясений. – Москва.: Наука, 1972. – 198 с.
2. Инструкция о порядке производства и обработки наблюдений на сейсмических станциях ЕССН СССР. – М: Наука, 1982. – 272 с.
3. Медведев С.В., Шнонхойер В., Корник В. Шкала сейсмической интенсивности MSK-64. – М: МТК АН СССР 1965. – 11 с.
4. Муралиев А.М., Абдыраева.Б.С., Малдыбаева М.Б. Каталог механизмов очагов землетрясений в Центральной Азии за 2013г. //Землетрясения Северной Евразии за 2013г. – Обнинск: ГС РАН 2013 г.